PACS 42.55.Px; 42.62.Fi

# Получение широкого спектра волноводного усиления в асимметричных многослойных квантоворазмерных гетероструктурах на основе $Ga_{0.47}In_{0.53}As/Ga_{0.18}In_{0.82}As_{0.4}P_{0.6}$

## Д.В.Ушаков, В.К.Кононенко

В рамках четырехзонного kp-метода проведен детальный теоретический анализ спектров волноводного усиления асим-метричных многослойных квантоворазмерных гетероструктур на основе соединений  $Ga_{0.47}In_{0.53}As/Ga_{0.18}In_{0.82}As_{0.4}P_{0.6}$ . Предложена эффективная процедура получения широкого и практически плоского спектра усиления. Рассчитаны конструкции полупроводниковых излучателей с различными наборами неоднородно возбужденных квантовых ям, дающих широкий спектр волноводного усиления в диапазонах 1.28-1.525 и 1.36-1.6 мкм.

 ${\it K}$ лючевые слова: четверные соединения, волноводное усиление,  ${\it kp}$ -метод, набор квантовых ям, неоднородное возбуждение, широкий спектр,  ${\it W}{\it K}$  область.

### 1. Введение

В задачах когерентной лазерной спектроскопии, для волоконно-оптических линий связи, химического анализа, метрологии и мониторинга окружающей среды требуются высокоэффективные перестраиваемые лазерные источники излучения, охватывающие спектральный диапазон 1.3-1.6 мкм. Генерацию излучения в этой области можно получить в асимметричных многослойных квантоворазмерных гетероструктурах на основе тройных и четверных соединений  $Ga_xIn_{1-x}As_yP_{1-y}$  [1—4] с набором неоднородно возбужденных квантовых ям различной ширины.

Идея неоднородного возбуждения квантовых ям предложена для соединений  $GaAs/Al_xGa_{1-x}As$  в [5, 6], где получен широкий спектр усиления, перекрывающий диапазон длин волн 0.79-0.85 мкм. Показано, что в квантоворазмерных лазерах длина волны, соответствующая излучательным межзонным переходам, зависит от толщины активных слоев. Квантовые ямы различной ширины усиливают излучение в разных диапазонах длин волн, поэтому суммарный спектр усиления квантоворазмерной гетероструктуры с такими квантовыми ямами может охватывать достаточно широкий спектральный диапазон

Переход к тройным и четверным соединениям с меньшей шириной запрещенной зоны, лежащей в ИК области спектра, приводит к увеличению области усиления. В настоящей работе исследуются спектры волноводного усиления асимметричных многослойных квантоворазмерных гетероструктур на основе соединений  $Ga_{0.47}In_{0.53}As$  (квантовая яма) и  $Ga_{0.18}In_{0.82}As_{0.4}P_{0.6}$  (барьерный слой), согласованных с подложкой InP.

**Д.В.Ушаков.** Белорусский государственный университет, Белоруссия, 220030 Минск, просп. Независимости, 4; e-mail: UshakovDV@bsu.by

**В.К.Кононенко.** Институт физики им. Б.И.Степанова НАНБ, Белоруссия, 220072 Минск, просп. Независимости, 70; e-mail: lavik@dragon.bas-net.by

Поступила в редакцию 21 апреля 2008 г., после доработки – 27 мая 2008 г.

# 2. Теоретический расчет

Для соединений  $Ga_{0.47}In_{0.53}As/Ga_{0.18}In_{0.82}As_{0.4}P_{0.6}$  при расчете уровней энергии и волновых функций необходимо учитывать эффект смешения подзон валентной зоны. Поэтому в работе был применен четырехзонный kpметод в приближении Люттинжера и Кона [7-9] с использованием метода конечных элементов [10,11]. Параметры численного расчета для четверных соединений  $A_xB_{1-x}C_yD_{1-y}$  аппроксимировались по экспериментальным и теоретическим данным тройных  $(A_xB_{1-x}C)$  и бинарных (AB) соединений согласно формуле [12]:

$$G_{ABCD}(x,y) = \frac{x(1-x)[yG_{ABC}(x) + (1-y)G_{ABD}(x)]}{x(1-x) + y(1-y)} + \frac{y(1-y)[xG_{ACD}(y) + (1-x)G_{BCD}(y)]}{x(1-x) + y(1-y)},$$

$$G_{ABC}(x) = xG_{AC} + (1-x)G_{BC} - x(1-x)b_{ABC}.$$
(1)

Здесь в качестве G могут быть использованы эффективные массы электронов  $(m_{\rm c})$ , параметры Люттинжера  $(\gamma_1, \gamma_2, \gamma_3)$ , энергия спин-орбитального отщепления  $(\Delta S_0)$ , ширина запрещенной зоны  $(E_{\rm g})$ , а также оптическая  $(\varepsilon_{\rm g})$  и статическая  $(\varepsilon)$  диэлектрические проницаемости. Данные интерполяции для соединений  ${\rm Ga_{0.47}In_{0.53}As}$ ,  ${\rm Ga_{0.18}In_{0.82}As_{0.4}P_{0.6}}$  и InP представлены в табл.1. При расчетах зонной структуры, уровней энергии и волновых функций глубина потенциальных ям в зоне проводимости и валентной зоне принималась равной 0.161 и 0.241 эВ.

Коэффициент усиления  $K_j(v)$  на частоте v для поляризаций ТЕ или ТМ (j = ТЕ или ТМ) в модели с выполнением правила отбора по волновому вектору для квантовой ямы шириной d рассчитывался согласно [1, 9]:

$$K_{j}(v) = \frac{e^{2}}{c\varepsilon_{0}m_{e}^{2}n_{a}vd} \int \frac{dk_{\parallel}}{(2\pi)^{2}} \sum_{n,i} |\mathbf{M}_{nn}|_{j}^{2} \left\{ f_{e}[E_{cn}(k_{\parallel})] + f_{h}[E_{vin}(k_{\parallel})] - 1 \right\} F(hv - hv_{0}), \tag{2}$$

Табл.1. Параметры квантоворазмерной гетероструктуры  $Ga_{0.47}In_{0.53}As/Ga_{0.18}In_{0.82}As_{0.4}P_{0.6}/InP$  (T=300~K), использованные в численных расчетах.

Материал	$m_{ m c}/m_{ m e}$	$\gamma_1$	$\gamma_2$	$\gamma_3$	$\Delta S_0$	$E_{\rm g}~({\rm 9B})$	ε	$arepsilon_{ m g}$
Ga <sub>0.47</sub> In <sub>0.53</sub> As	0.0430	13.8806	5.4732	6.2531	0.3296	0.735	14.09	11.47
$Ga_{0.18}In_{0.82}As_{0.4}P_{0.6}$	0.0646	9.9993	3.7764	4.5782	0.1914	1.137	13.25	10.52
InP	0.0795	5.0800	1.6000	2.1000	0.1080	1.357	12.50	9.61

где  $hv_0=E_{\rm g}+E_{\rm cn}(k_\parallel)-E_{\rm vin}(k_\parallel)$ ;  $E_{\rm g}$  — ширина запрещенной зоны;  $E_{\rm cn}(k_\parallel)$  и  $E_{\rm vin}(k_\parallel)$  — энергии уровней, участвующих в излучательной рекомбинации электрона и дырки;  $f_{\rm e}$  и  $f_{\rm h}$  — функции распределения Ферми — Дирака для электронов и дырок;  $n_{\rm a}$  — показатель преломления активной области структуры;  $F(hv-hv_0)$  — гауссова функция уширения линии излучения. В выражении (2), кроме правила отбора по  $k_x$  и  $k_y$ , предполагалось выполнение правила отбора по квантовому числу n.

Матричные элементы прямых межзонных переходов  $|M_h|_f^2$  электрона с уровня l на уровень n тяжелой или легкой дырки при учете эффекта смешения зон имели следующий вид [1, 9]:

$$\begin{split} |\boldsymbol{M}_{ln}|_{\mathrm{TE}}^{2} &= \frac{1}{4} |\boldsymbol{P}_{\mathrm{cv}}|^{2} \left\{ \langle \phi_{l} | f_{n}^{3/2} \rangle^{2} + \langle \phi_{l} | f_{n}^{-3/2} \rangle^{2} \right. \\ &+ \frac{1}{3} \left( \langle \phi_{l} | f_{n}^{1/2} \rangle^{2} + \langle \phi_{l} | f_{n}^{-1/2} \rangle^{2} \right) + \frac{2}{\sqrt{3}} \left( \langle \phi_{l} | f_{n}^{3/2} \rangle \langle \phi_{l} | f_{n}^{-1/2} \rangle \right. \\ &+ \langle \phi_{l} | f_{n}^{-3/2} \rangle \langle \phi_{l} | f_{n}^{1/2} \rangle \right) \cos 2\phi \bigg\}, \end{split}$$

$$(3)$$

$$|\boldsymbol{M}_{ln}|_{\mathrm{TM}} = \frac{1}{3} |\boldsymbol{P}_{\mathrm{cv}}|^{2} \left\{ \langle \phi_{l} | f_{n}^{1/2} \rangle^{2} + \langle \phi_{l} | f_{n}^{-1/2} \rangle^{2} \right\}.$$

Здесь  $|P_{\rm cv}|^2 = |\langle S|p_x|X\rangle|^2 = |\langle S|p_y|Y\rangle|^2 = |\langle S|p_z|Z\rangle|^2 \approx m_{\rm e}^2 E_{\rm g}/2m;$   $\varphi = \arctan(k_y/k_x); \; \phi$  — огибающая волновая функция в зоне проводимости;  $f_n^v$  — огибающая волновая функция с магнитным квантовым числом v=3/2, -1/2, 1/2, -3/2;  $|S\rangle$  — волновая функция, соответствующая s-орбитали.

Поскольку в квантовой яме локализована не вся электромагнитная волна, необходимо рассчитать волноводное усиление. Фактор оптического ограничения  $\Gamma$  находился из модели трехслойного волновода [13]. Для i-й квантовой ямы с учетом ТЕ- и ТМ-поляризаций выражения для  $\Gamma$  имеют следующий вид [13]:

$$\Gamma_{\text{TE}} = d_i \left[ d + \frac{2}{d(\varepsilon_{\text{eff}} - \varepsilon_{\text{c}})} \left( \frac{\varepsilon_{\text{c}}}{\varepsilon_i} \right)^{1/2} \left( \frac{\lambda}{2\pi} \right)^2 \right]^{-1},$$

$$\Gamma_{\text{TM}} = d_i \left[ d + \frac{2}{d(\varepsilon_{\text{eff}} - \varepsilon_{\text{c}})} \left( \frac{\varepsilon_{\text{eff}}}{\varepsilon_{\text{c}}} \right) \left( \frac{\varepsilon_i}{\varepsilon_{\text{c}}} \right)^{3/2} \left( \frac{\lambda}{2\pi} \right)^2 \right]^{-1}, (4)$$

где  $\varepsilon_l$  и  $\varepsilon_c$  — диэлектрические проницаемости i-й квантовой ямы и обкладок;  $\varepsilon_{\rm eff}=d^{-1}\int\varepsilon(z){\rm d}z$  и  $\varepsilon_{\rm eff}^{-1}=d^{-1}\int\varepsilon^{-1}(z){\rm d}z$  — эффективные диэлектрические проницаемости для ТЕ- и ТМ-моды соответственно. На длине волны  $\lambda=1.5$  мкм показатель преломления для соединений  ${\rm Ga}_{0.47}{\rm In}_{0.53}{\rm As}$ ,  ${\rm Ga}_{0.18}{\rm In}_{0.82}{\rm As}_{0.4}{\rm P}_{0.6}$  и InP составляет 3.79, 3.39 и 3.24. Для системы из нескольких квантовых ям суммарный коэффициент волноводного усиления

$$g(v) = \sum_{i} g_i(v) = \sum_{i} \Gamma_i K_i(v).$$
 (5)

Для расчета электрофизических параметров квантоворазмерной гетероструктуры применялась система ура-

внений, включающая уравнение Пуассона для нахождения электростатического потенциала  $\varphi$  и уравнения непрерывности для плотностей электронного ( $j_e$ ) и дырочного ( $j_h$ ) токов [14]:

$$\frac{\partial^{2} \varphi}{\partial z^{2}} = -\frac{e}{\varepsilon \varepsilon_{0}} (p - n + N_{d} - N_{a}),$$

$$\frac{\partial j_{e}}{\partial z} = eR, \quad j_{e} = \mu_{e} n \frac{\partial F_{e}}{\partial z},$$

$$\frac{\partial j_{h}}{\partial z} = -eR, \quad j_{h} = \mu_{h} p \frac{\partial F_{h}}{\partial z},$$
(6)

где n и p — концентрации электронов и дырок;  $N_{\rm a}$  и  $N_{\rm d}$  — концентрации ионизованных акцепторов и доноров; R — интегральная скорость рекомбинации;  $\mu_{\rm e}$  и  $\mu_{\rm h}$  — подвижности электронов и дырок;  $F_{\rm e}$  и  $F_{\rm h}$  — квазиуровни Ферми для электронов и дырок.

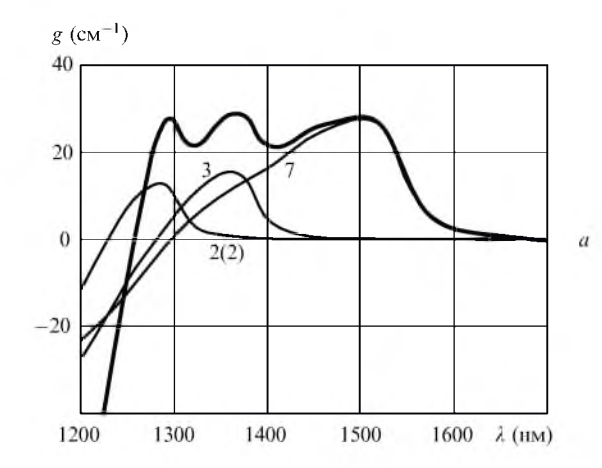
## 3. Обсуждение результатов

Расчеты спектров волноводного усиления проводились в несколько этапов. На первом этапе на основе четырехзонного *кр*-метода при различных уровнях возбуждения рассчитывались энергетические и спектральные характеристики для квантовых ям шириной 2–15 нм. Полученная база данных применялась на втором этапе при оптимизации уровней возбуждения полупроводниковой системы из нескольких квантовых ям различной ширины с целью получения широкого и плоского спектра волноводного усиления в требуемом диапазоне длин волн. На третьем этапе на основе системы уравнений (6) определялись электрофизические характеристики, а также находились уровни легирования и толщины барьерных слоев с целью получения рассчитанных на втором этапе неоднородных уровней возбуждения квантовых ям.

В табл. 2 представлены результаты вычисления основных уровней энергии, частот и длин волн переходов для квантовых ям различной ширины. Как следует из таблицы, используя наборы различных квантовых ям, мож-

Табл.2. Основные уровни энергии, частоты и длины волн переходов, рассчитанные при различных ширинах квантовых ям.

d (HM)	$E_{\rm c1}$ (мэВ)	$E_{\rm v1}$ (мэВ)	hv <sub>c1v1</sub> (мэВ)	$\lambda_{c1v1}$ (мкм)
2	129	87	951	1.30
3	107	54	896	1.38
4	89	36	860	1.44
5	74	26	835	1.48
7	53	15	803	1.54
9	40	10	785	1.58
11	31	7	773	1.60
13	25	5.3	765	1.62
14	22	4.6	762	1.628
15	20	4.1	759	1.633



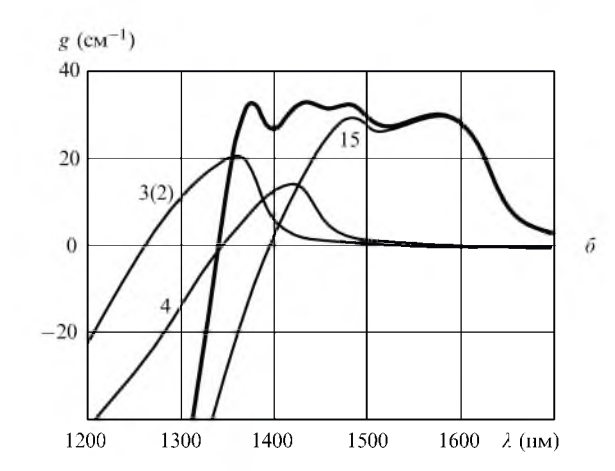


Рис.1. Спектры волноводного усиления ТЕ-моды для квантоворазмерной структуры  $Ga_{0.47}In_{0.53}As/Ga_{0.18}In_{0.82}As_{0.4}P_{0.6}$  с четырьмя квантовыми ямами с набором ширин 2(2)-3-7 нм (a) и 3(2)-4-15 нм (b) при неоднородном возбуждении квантовых ям, а также суммарный спектр модового усиления (жирная линия). Числа у кривых соответствуют ширинам квантовых ям d: a — две ямы с d=2 нм —  $\Delta F=1.01$  эВ,  $\Gamma=2.4\times10^{-3}$ ; яма с d=3 нм —  $\Delta F=0.97$  эВ,  $\Gamma=3.6\times10^{-3}$ ; яма с d=7 нм —  $\Delta F=0.96$  эВ,  $\Gamma=8.4\times10^{-3}$  (U=1.015 В, J=355 А/см $^2$ ) и b=1.01 лмы b=1.01 нм — b=1.01 нм — b=1.01 нм — b=1.01 нм b=1.01 нм — b=1.01

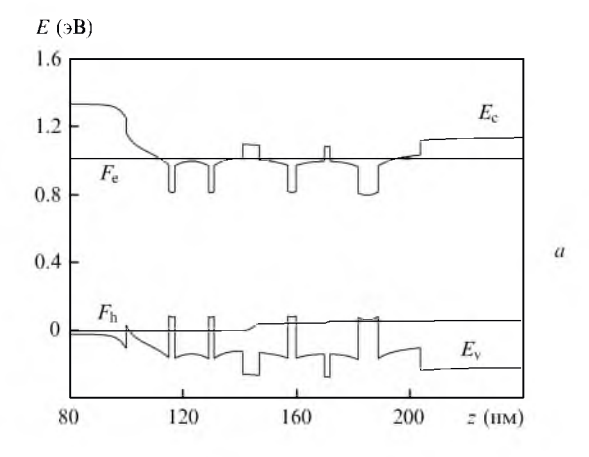
но получить широкий спектр излучения в диапазоне 1.3-1.6 мкм. На рис.1 приведены результаты численного расчета спектров волноводного усиления для многослойной квантоворазмерной гетероструктуры с двумя наборами из четырех квантовых ям. В системе из квантовых ям шириной 2(2)-3-7 нм на уровне максимального коэффициента усиления  $g_{\rm max}=25~{\rm cm}^{-1}$  диапазон усиления составляет  $1.28-1.525~{\rm mkm}$ . При этом на половине высоты две однородно возбужденные квантовые ямы шириной по  $2~{\rm mkm}$  усиливают в области  $1.25-1.3~{\rm mkm}$ , квантовая яма шириной  $3~{\rm mkm}$  в диапазоне  $1.31-1.39~{\rm mkm}$ , а квантовая яма шириной  $7~{\rm mkm}$  в широкой области  $1.36-1.54~{\rm mkm}$ .

При использовании набора квантовых ям 3(2)-4-15 нм область усиления на уровне  $g_{\rm max}=30~{\rm cm}^{-1}$  составляет 1.36-1.60 мкм. При этом две однородно возбужденные квантовые ямы шириной по 3 нм усиливают в области 1.29-1.39 мкм, квантовая яма шириной 4 нм – в диапазоне 1.36-1.54 мкм, а квантовая яма шириной 15 нм – в широкой области 1.43-1.63 мкм. Отметим, что в обоих случаях в коротковолновой области для компенсации поглощения широкой квантовой ямы используются две узкие квантовые ямы, а отклонения от заданного  $g_{\rm max}$  составляют  $\sim 3~{\rm cm}^{-1}$ . При другом выборе квантовых ям

возможно получение и большего максимального коэффициента волноводного усиления с плоским спектром. Например, для набора 4(2)-5-15 нм диапазон усиления при  $g_{\rm max}=40-50$  см $^{-1}$  составляет 1.42-1.6 мкм, а отклонения от  $g_{\rm max}$  не превышают 1 см $^{-1}$ .

На рис.2 представлены результаты численного решения системы уравнений (6) для структуры  $Ga_{0.47}In_{0.53}As/Ga_{0.18}In_{0.82}As_{0.4}P_{0.6}$  с подложкой InP и набора квантовых ям с ширинами 2(2)-3-7 нм и 3(2)-4-15 нм. С целью контроля уровней возбуждения в квантовых ямах (согласно данным рис. I) производилось легирование донорными примесями (концентрация  $5\times10^{17}$  см $^{-3}$ ) барьерных слоев  $Ga_{0.18}In_{0.82}As_{0.4}P_{0.6}$  и InP между второй и третьей, а также между третьей и четвертой квантовыми ямами; кроме того, подбирались толщины барьерных слоев. Рассчитанные значения напряжения U и плотности тока инжекции J для первой и второй структур составили 1.015 B, 355  $A/cm^2$  и 0.987 B, 373  $A/cm^2$  соответственно.

Отметим, что с ростом тока накачки спектр усиления трансформируется и его максимум смещается в коротковолновую область 1.25—1.35 мкм из-за увеличения, в основном, населенности в узких квантовых ямах, поэтому в длинноволновой области 1.5—1.6 мкм коэффициент усиления растет гораздо медленее. Аналогичное поведение



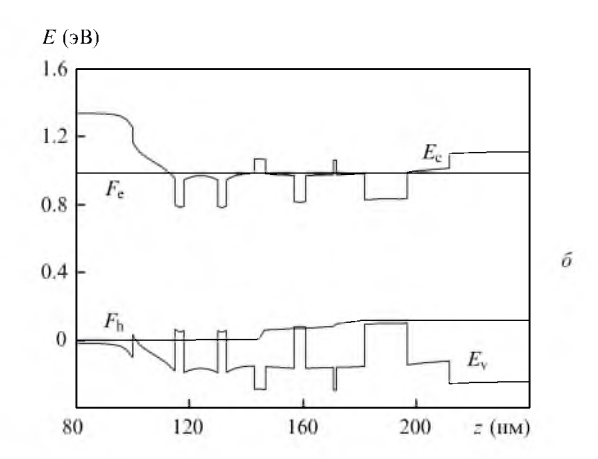


Рис.2. Распределение зоны проводимости  $E_{\rm c}(z)$  и валентной зоны  $E_{\rm v}(z)$  для системы  ${\rm InP/Ga_{0.47}In_{0.53}As/Ga_{0.18}In_{0.82}As_{0.4}P_{0.6}/{\rm InP}}$  многослойной гетероструктуры с четырьмя квантовыми ямами с набором ширин 2(2)-3-7 нм (a) и 3(2)-4-15 нм (a).

спектра результирующего модового усиления наблюдалось для асимметричных квантоворазмерных гетероструктур на GaAs [5].

### 4. Заключение

Таким образом, в работе с учетом эффекта смешения подзон валентной зоны в приближении четырехзонного kp-метода проведены расчеты спектров волноводного усиления квантоворазмерных гетероструктур в системе  $Ga_{0.47}In_{0.53}As/Ga_{0.18}In_{0.82}As_{0.4}P_{0.6}$ . При неоднородном возбуждении квантовых ям различной ширины получен практически плоский широкий спектр волноводного усиления. В этом случае область плоского участка при различных наборах квантовых ям охватывает спектральные диапазоны 1.28-1.525 и 1.36-1.60 мкм. Предложенные конструкции асимметричных многослойных квантоворазмерных гетероструктур на основе  $Ga_{0.47}In_{0.53}As/Ga_{0.18}In_{0.82}As_{0.4}P_{0.6}/InP$  могут применяться в качестве составных элементов оптоэлектронных и фотонных интегральных схем.

Работа выполнена при поддержке Белорусского республиканского фонда фундаментальных исследований.

- Issanchou O., Barrau J., Idiart-Alhor E., Quillec M. J. Appl. Phys., 78, 3925 (1995).
- Yamatoya T., Mori S., Koyama F., Iga K. Jpn. J. Appl. Phys., 38, 5121 (1999).
- Hong-Quan Zhao, Li-Juan Yu, Yong-Zhen Huang. J. Appl. Phys., 100, 023513 (2006).
- Манак И.С., Ушаков Д.В., Белявский В.С. Изв. РАН. Сер. физич., 72, 262 (2008).
- Kononenko V.K., Manak I.S., Nalivko S.V. Spectrochim. Acta. Pt. A, 55, 2091 (1999).
- Manak I.S., Kononenko V.K., Nalivko S.V. *Phys. Chem. Sol. State*, 6, 666 (2005).
- 7. Luttinger J.M., Kohn W. Phys. Rev., 97, 869 (1955).
- 8. Пикус Г.Е., Бир Г.Л. ФТТ, **1**, 1642 (1959).
- Наливко С.В., Манак И.С., Чиж А.Л. Литовский физ. журн., 39, 365 (1999).
- Nakamura K., Shimizu A., Koshiba M., Hayata K. IEEE J. Quantum Electron., 25, 889 (1989).
- 11. Yi J.C., Dagli N. IEEE J. Quantum Electron., 31, 208 (1995).
- Vurgaftman I., Meyer J.R., Ram-Mohan L.R. J. Appl. Phys., 89, 5815 (2001).
- Афоненко А.А., Манак И.С. Электромагнитная теория полупроводниковых лазеров (Минск: изд-во Белгосуниверситета, 1997)
- Афоненко А.А., Кононенко В.К., Манак И.С. Теория полупроводниковых лазеров (Минск: изд-во Белгосуниверситета, 1995).